

NOTE

Tetramethyl Bisphenol-A Polyarylate의 내열성과 Polystyrene과의 상용성

안태완·남병욱·정한모*·정상철*

서울대학교 공업화학과 · *울산대학교 화학과

(1991년 5월 23일 접수)

Thermal Degradation and Miscibility with Polystyrene of Tetramethyl Bisphenol-A Polyarylate

Tae Oan Ahn, Byeong Uk Nam, Han Mo Jeong*, and Sang Cheol Jeong*

Dept. of Chemical Technology, Seoul National University, Seoul 151-742, Korea

*Dept. of Chemistry, University of Ulsan, Ulsan 680-749, Korea

(Received May 23, 1991)

서 론

Bisphenol-A polycarbonate(PC)는 polystyrene(PS)과 상분리 거동을 보이나,¹ bisphenol-A의 방향족 환에 메틸기를 네개 치환시켜 사슬의 소수성을 증가시킨 tetramethyl bisphenol-A polycarbonate(TMPC)는 PS와의 블렌드에서 한개의 유리전이온도(T_g)를 나타내는 상용성을 나타낸다.² 또 TMPC와 poly(styrene-co-acrylonitrile)(SAN)은 TMPC/PS 블렌드보다 lower critical solution temperature(LCST)가 더 높은 온도에서 관찰되며, 이는 SAN 중 styrene(St) 반복 단위와 acrylonitrile(AN) 반복 단위 사이의 intramolecular repulsion effect로 설명한다.^{3,4}

Polyarylate(PAR)는 PS와의 블렌드에서 뚜렷한 상분리 거동을 보이며,⁵ AN을 공중합시킨 경우 상용성이 증가하여 AN 함량이 25 wt%인 경우 가장 좋은 상용성을 보이나, T_g 는 두개로 분리되어 관찰된다.^{6,7} PAR과 PC는 구조와 물성이 비슷하고, 다른 고분자와의 상용거동에서 유사한 점이 많다. 따

라서 tetramethyl bisphenol-A polyarylate(TMPAR)는 PS와의 상용성이 PAR보다 증가할 것으로 예측된다. TMPAR은 PAR보다 T_g 가 높아 열변형온도가 높을 것으로 예측되는 고분자이나 이에 대한 연구보고는 그다지 많지 않다.^{8,9}

본 연구실에서는 TMPAR의 이용에 관한 일련의 연구를 진행하고 있으며, 우선 그 열적 성질과 PS와의 상용성에 관한 결과를 보고코자 한다.

실험

Ethylacetate/n-hexane으로 재결정한 tetramethyl bisphenol-A와 isophthaloyl chloride/terephthaloyl chloride의 8/2, 5/5, 2/8 혼합물을 chloroform 중에서 acid acceptor로 triethylamine을 사용하여 3시간 동안 반응시켜 각각 TMPAR 1, TMPAR 2, TMPAR 3을 합성하였다. TMPAR의 25 °C, dichloroethane 용액에서 측정한 고유 점성도, $[\eta]$ 값을 Table 1에 나타내었다.

PS는 benzoyl peroxide를 개시제로 사용하여 라

Table 1. Characteristics of Tetramethyl Bisphenol-A Polyarylate

Designation	Isophthaloyl Chloride/ Terephthaloyl Chloride Feed Ratio	[η] (dl/g)	T _g (°C)
TMPAR 1	8/2	0.39	195
TMPAR 2	5/5	0.42	208
TMPAR 3	2/8	0.38	224

디칼 중합하여 얻었고, GPC(Waters 100)로 측정한 중량 평균 분자량, \bar{M}_w 는 360,000이었다.

PAR은 일본 Unitika사 제품인 U-100($\bar{M}_n = 21,200$, $\bar{M}_w = 51,400$)을 사용하였다.¹⁰

블렌드물은 해당 양의 고분자를 methylene chloride에 5 w/v%로 상온에서 3시간 동안 교반하여 녹인 후, 비용매인 메탄올에 천천히 부어 침전으로 얻었으며, 따뜻한 메탄올로 수회 세척한 후 60 °C 진공 건조기에서 72시간 건조하였다.

T_g는 DSC(Perkin Elmer DSC-4)를 사용하여 10.0 ± 0.05 mg의 시료를 알루미늄팬에 넣고, TMPAR의 T_g보다 40 °C 높은 온도에서 3분간 녹인 후 320 °C/min로 급냉시키고, 이어서 20 °C/min로 승온시키면서 측정하였다.

TMPAR의 내열성은 Shimadzu사의 thermogravimeter (TG-30)를 사용하여 10 mg의 시료를 질소 기류 하에서 10 °C/min 속도로 승온시키면서 중량의 감소를 측정하여 관찰하였다.

결과 및 고찰

Fig. 1에 PAR과 TMPAR 2의 열분해 거동을 비교하여 나타내었다. 1 wt%의 중량감소를 보이는 온도가 PAR의 경우 450 °C, TMPAR 2의 경우 350 °C로 TMPAR 2 보다 PAR이 더 나은 내열성을 가짐을 볼 수 있으며, 이와 같은 열분해 거동의 차이는 TMPAR의 경우 벤젠링에 치환된 메틸기가 먼저 분해되기 때문으로 추측된다. 한편 TMPAR 1과 TMPAR 3도 모두 1 wt% 중량감소를 보이는 온도가 350 °C로 TMPAR 2와 비슷한 분해거동을 보였다. 고분자의

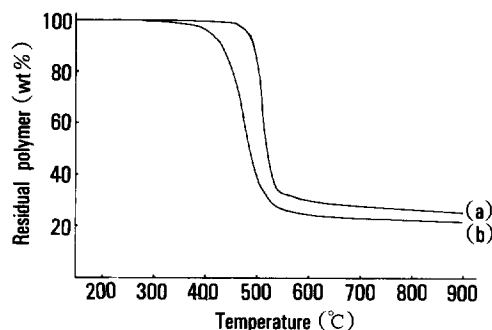


Fig. 1. Thermogravimetric curves of (a) PAR and (b) TMPAR 2.

Table 2. E and n Values

Polymer	E(kcal/mol)	n
TMPAR 1	40	1.4
TMPAR 2	47	1.6
TMPAR 3	47	1.8
PAR	76	1.5

열분해 거동은 다음 식(1)을 이용한 Freeman-Carroll의 방법으로 해석할 수 있다.¹¹

$$\frac{\Delta \log(dC/dt)}{\Delta \log(1-C)} = n - \frac{E}{2.3R} \quad \frac{\Delta(1/T)}{\Delta \log(1-C)} \quad (1)$$

$$\text{여기서 } C = \frac{w_o - w}{w_o - w_\infty} \quad \text{이며,}$$

w_o와 w_∞는 각각 최초와 최종 시료 무게이고, w는 측정 시점에서의 시료의 무게이다. 또 T는 Kelvin 온도, R은 기체상수이다. 식(1)의 좌변을 Δ(1/T)/Δ log(1-C)에 대해 도시하면 직선의 기울기와 교점으로부터 분해의 겉보기 활성화에너지 E와 겉보기 반응차수 n을 구할 수 있다. Fig. 2에 TMPAR 2의 분해 거동을 식(1)을 이용하여 도시한 결과를 나타내었는데, 이로부터 얻어진 n과 E값들은 다른 고분자의 값들과 함께 Table 2에 나타내었다. PAR의 E값이 TMPAR 보다 크게 나타나는 것은 PAR은 고온에서 좁은 온도 범위에서 분해되는데 반해 TMPAR은 비교적 낮은 온도로부터 온도 상승에 따라 분해가 완만히 진행되기 때문으로 생각된다.

TMPAR/PS 블렌드물을 DSC에서 20 °C/min로 승

Tetramethyl Bisphenol-A Polyarylate의 내열성과 Polystyrene과의 상용성

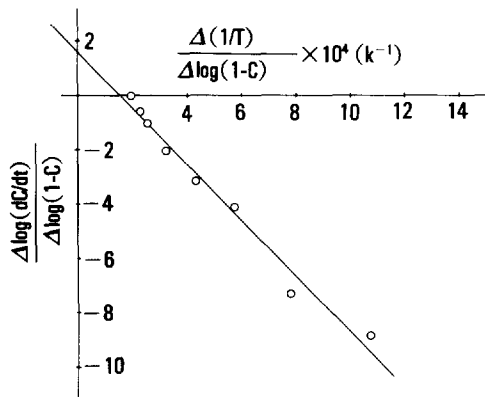


Fig. 2. Freeman-Carroll plot of TMPAR 2.

온시키면서 T_g 를 측정한 결과 두개의 독립된 T_g 를 관찰할 수 있었으며, 이를 Table 3에 나타내었다. 블렌드물에서 높은 온도에서 관찰되는 TMPAR-rich 상의 T_g , 즉 $T_{g,TMPAR}$ 는 PS의 함량이 증가함에 따라 감소하고, 낮은 온도에서 관찰되는 PS-rich 상의 T_g , 즉 $T_{g,PS}$ 는 TMPAR의 함량이 증가함에 따라 증가하는 부분적 상용성을 관찰할 수 있다. Table 3의 결과와 Wood식[식(2)]를 이용하여 TMPAR-rich상과 PS-rich상 중의 각 구성 고분자의 함량을 구할 수 있다.^{5, 12}

$$T_{gb}' = w_1' T_{g1} + w_2' T_{g2} \quad (2)$$

식(2)를 정리하면 다음 식(3)을 얻을 수 있고, 동일한 방법으로 PS-rich상에 대해서는 식(4)를 얻을 수 있다.

$$w_2' = \frac{T_{g1}-T_{gb}'}{T_{g1}-T_{g2}} \quad (3)$$

$$w_1'' = \frac{T_{gb}''-T_{g2}}{T_{g1}-T_{g2}} \quad (4)$$

식(2), (3), (4)에서 T_g 는 유리전이온도, w 는 중량 분율, 아래에 쓴 문자 b, 1, 2는 각각 블렌드물, TMPAR, PS를 나타내고 '과 "은 각각 블렌드물의 TMPAR-rich상, PS-rich상을 나타낸다.

식(3)과 (4)를 이용하여 계산한 결과를 Fig. 3에

Table 3. Glass Transition Temperatures of TMPAR/PS Blend

Blend	Weight Fraction of TMPAR	T_g TMPAR (°C)	T_g PS (°C)
TMPAR 1/PS	1.0	195	—
	0.9	187	110
	0.7	178	109
	0.5	172	108
	0.3	163	107
	0.1	160	104
	0.0	—	101
	1.0	208	—
TMPAR 2/PS	0.9	202	111
	0.7	198	112
	0.5	188	110
	0.3	163	106
TMPAR 3/PS	0.1	153	104
	0.0	—	101
	1.0	224	—
	0.9	220	113
TMPAR 3/PS	0.7	211	113
	0.5	191	112
	0.3	172	108
	0.1	161	105
	0.0	—	101

도시하였는데, TMPAR-rich상에 PS가 녹아 들어가는 정도가 PS-rich 상에 TMPAR이 녹아들어가는 정도보다 큼을 볼 수 있다. 또 TMPAR의 종류에 따라서는, PS의 조성이 많은 영역에서 TMPAR-rich상 중에 녹은 PS의 양이 일부 차이를 보이기는 하지만, 전 조성에서의 일관적인 상용 정도의 뚜렷한 차이는 관찰되지 않았다. 한편 Fig. 3의 w_2' 과 w_1'' 값이 PAR/PS 블렌드보다⁵ 크게 나타나는데, 이는 Feeders의 자료를 이용하여 group contribution method로부터 계산한 PAR과 TMPAR의 용해도 상수값이 각각 $24.3 (\text{J}/\text{cm}^3)^{1/2}$ $20.7 (\text{J}/\text{cm}^3)^{1/2}$ 로 PAR의 bisphenol-A 반복단위에 네개의 메틸기를 치환시킨 경우 소수성이 증가하여 PS의 용해도 상수값(17.4 - $19.0 (\text{J}/\text{cm}^3)^{1/2}$)과 근접해지기 때문으로 생각된다.

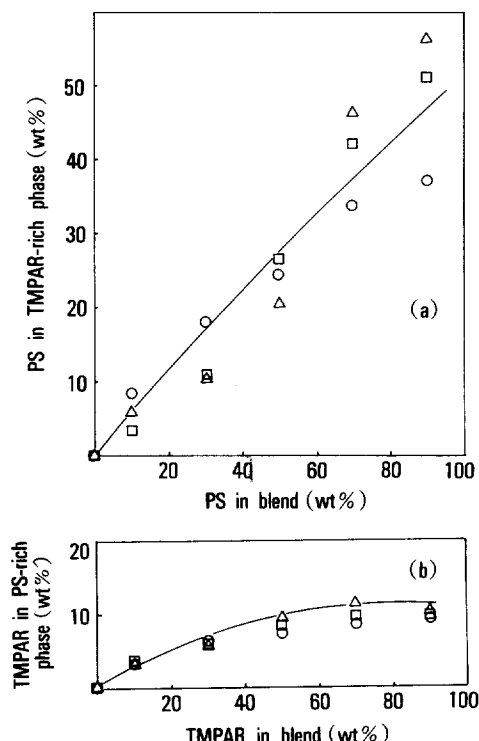


Fig. 3. Weight % of (a) PS in TMPAR-rich phase and (b) TMPAR in PS-rich phase in blends of PS with (○) TMPAR 1, (△) TMPAR 2, and (□) TMPAR 3.

다.^{13, 14}

이 논문은 1990년도 문교부 지원 한국 학술진흥재단의 지방대 육성 학술연구 조성비에 의하여 연구되었음

참 고 문 헌

- W. N. Kim and C. M. Burns, *J. Appl. Polym. Sci.*, **34**, 945 (1987).
- W. Guo and J. S. Higgins, *Polymer*, **31**, 699 (1990).
- A. C. Fernandes, J. W. Barlow, and D. R. Paul, *Polymer*, **27**, 1788 (1986).
- K. E. Min and D. R. Paul, *Macromolecules*, **20**, 28 (1987).
- T. O. Ahn, H. M. Jeong, S. M. Lee, and Y. J. Lee, *Polymer(Korea)*, **13**, 309 (1989).
- T. O. Ahn, Y. J. Lee, S. M. Lee, and H. M. Jeong, *J. Macromol. Sci.-Phys.*, **B29**, 91 (1990).
- J. I. Eguizábal and J. J. Iruin, *J. Polym. Sci., Polym. Phys.*, **27**, 1951 (1989).
- I. Yilgör and J. E. McGrath, *Adv. Polym. Sci.*, **88**, 1 (1988).
- P. J. A. Brandt, C. L. S. Elsbernd, N. Patel, G. York, and J. E. McGrath, *Polymer*, **31**, 180 (1990).
- I. Mondragon, P. M. Remiro, and J. Nazábal, *Eur. Polym. J.*, **23**, 125 (1987).
- J. I. Eguizábal, M. E. Calahorra, M. M. Cortázar, and G. M. Guzmán, *J. Polym. Sci., Polym. Lett.*, **24**, 77 (1986).
- L. A. Wood, *J. Polym. Sci.*, **28**, 319 (1958).
- D. W. Van Krevelen, "Properties of Polymers", Elsevier, Amsterdam, 1976.
- J.-C. Huang and M.-S. Wang, *Adv. Polym. Technol.*, **9**, 293 (1989).